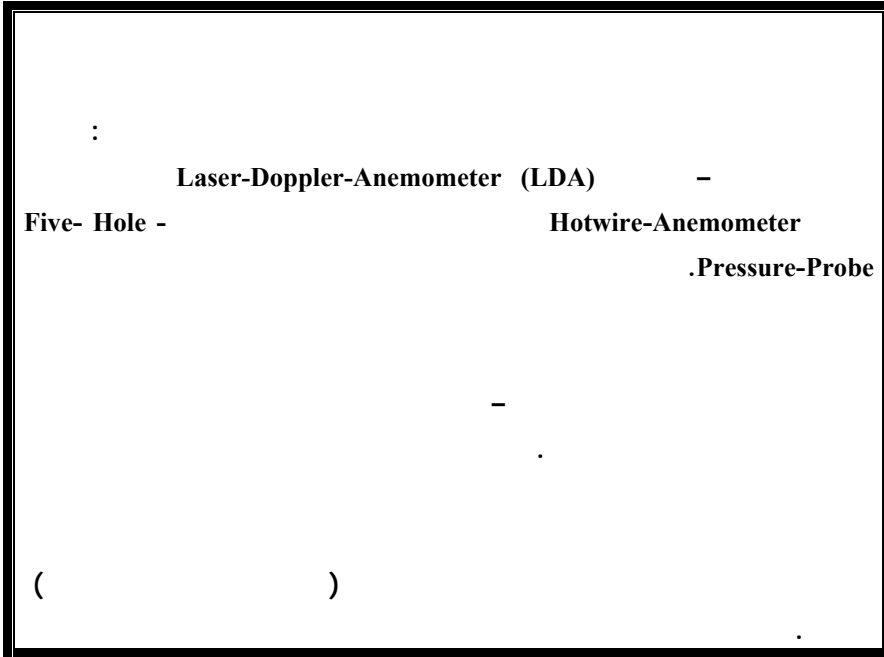


1

3

2

4



1

2

3

4

Modelling and Simulation

Finite Element Method (FEM)

Finite Volume Method(FVM)

:

:

[2, 4]

[11, 10]

:

. [12, 11, 4, 2, 1]

[13, 11]

. [1, 3]

. [17, 16]

:

-
-
-

.2
1.2

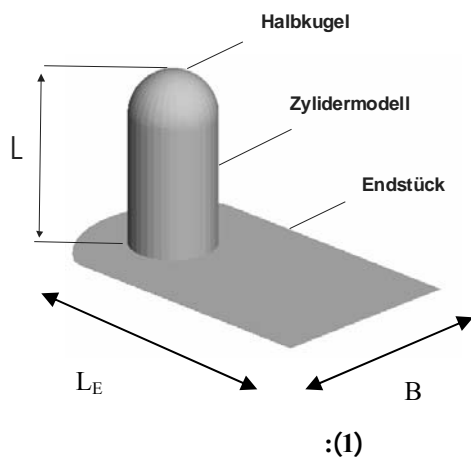
‘ [12,10]

. [15,5]

(1)

(1)

. (2.2)



:(1)

| |
|---------------------------------|
| D = 109 [mm] |
| L=219 [mm] |
| L/D=2 |
| L_E = 431 [mm] |
| B=300 [mm] |

2.2

. (2)

1400 mm

Test section

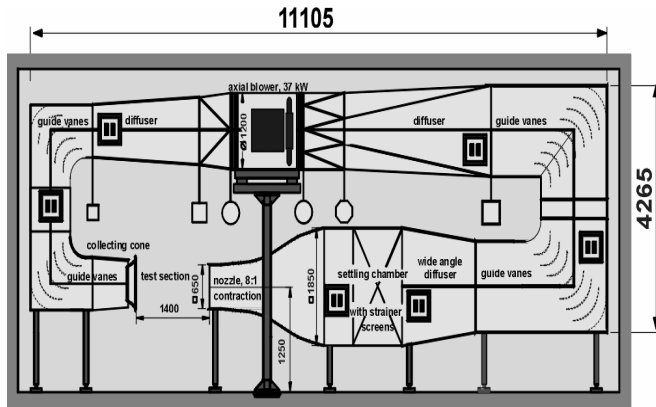
Goettingen

.0.5%

P=37 kW

. 650X650 mm²

V_{max}=54 m/s



[3]

:(2)

:

3.2

z (3-a) y x

(3-b)

, $0 \leq x \leq 3.532.D = 384 \text{ mm}$: x

. $-112 \leq y \leq +112 \text{ mm}$ y

mm . $0 \geq z \geq -336 \text{ mm}$ z (3-c)

$\Delta x = \Delta y = \Delta z = 16$

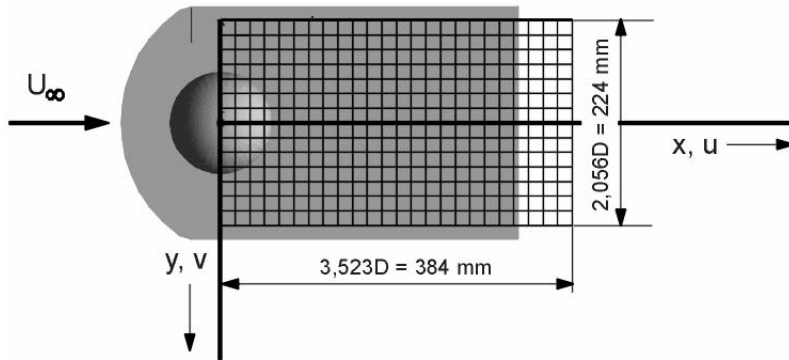
x, y, z

(2)

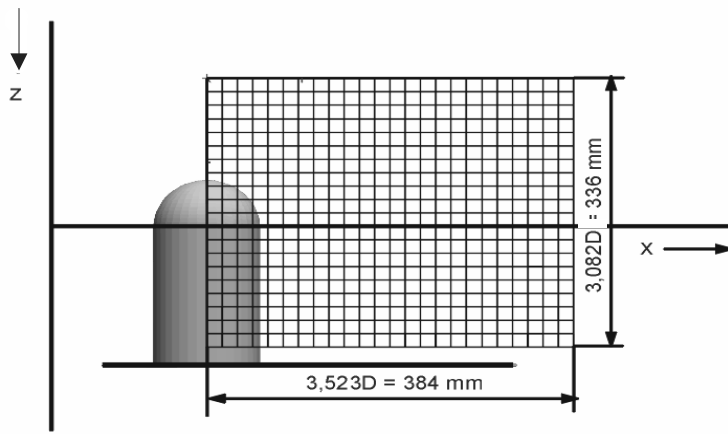
. 20130 .

:(2)

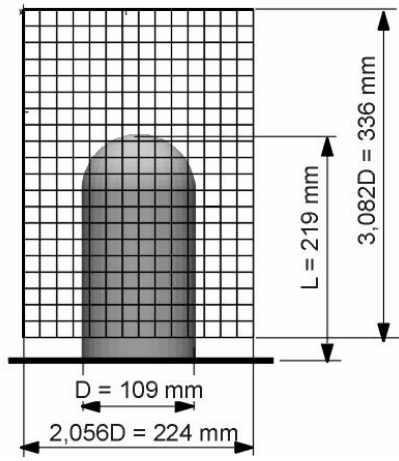
| | x | y | z | |
|------|-----------------|-----------------|-----------------|------|
| [mm] | $\Delta x = 16$ | $\Delta y = 16$ | $\Delta z = 16$ | |
| | 20 | 15 | 19 | 5700 |
| | 23 | 15 | 19 | 6555 |
| | 25 | 15 | 21 | 7875 |



(a)



(b)



(c)

xz (b) xy (a)
yz (c)

.3

1.3

(5) [12]

α

. $\alpha, \beta = \pm 30^\circ$ β

2mm

(4) 0.2mm 4 0

8mm 3mm

(5) 0.4mm

Aeroview

Scanivalve

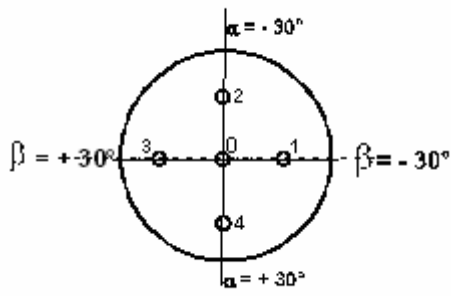
[18]

(6)

$P_{0\dots4}$

$U_\infty = 27,72$ m/s

0,1,2,3,4



:(4)

$$K_\alpha = \frac{P_4 - P_2}{\Delta P} \quad (7) \quad \alpha, \beta = \pm 30^\circ$$

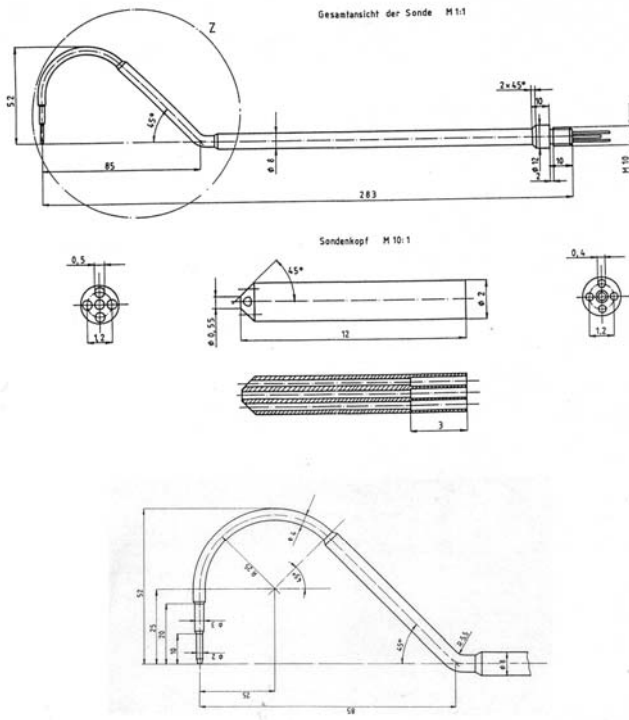
$$K_\alpha = \frac{P_4 - P_2}{\Delta P} \quad (1)$$

$$K_\beta = \frac{P_3 - P_1}{\Delta P} \quad (2)$$

$$[12] \quad \frac{(P_3 - P_1)}{\Delta P} = \frac{(P_4 - P_2)}{\Delta P} \quad (3)$$

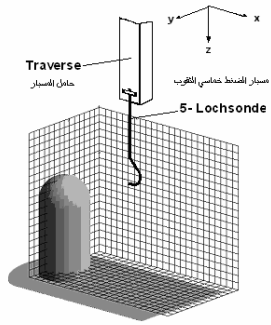
$$V = \sqrt{\frac{2(p_t - p_s)}{\rho}} \quad (8)$$

.u,v,w



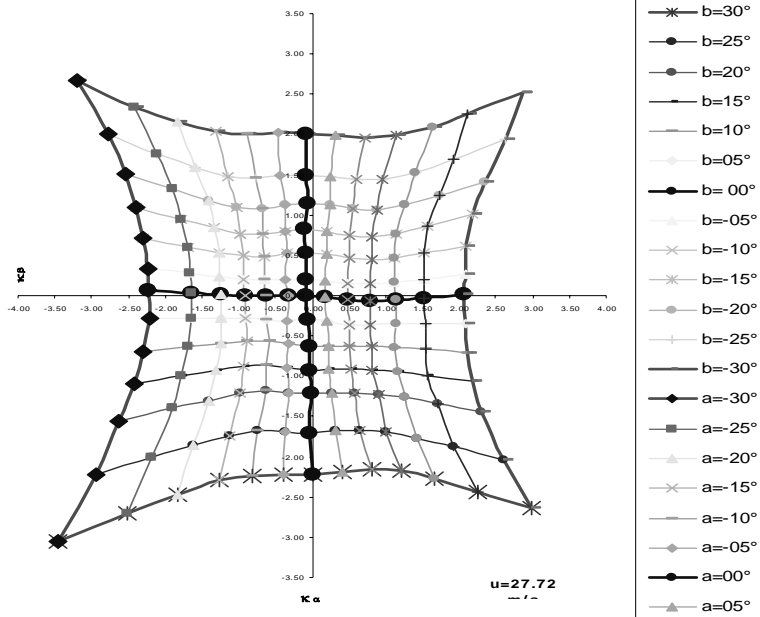
[12]

:(5)



:(6)

$$a = \alpha \quad b = \beta$$



$$U_{\infty} = 27.72 \text{ m/s}$$

:(7)

(8)

$$M \cdot R = R_H \cdot I_e \quad (9-a)$$

.A

Ie

R_H

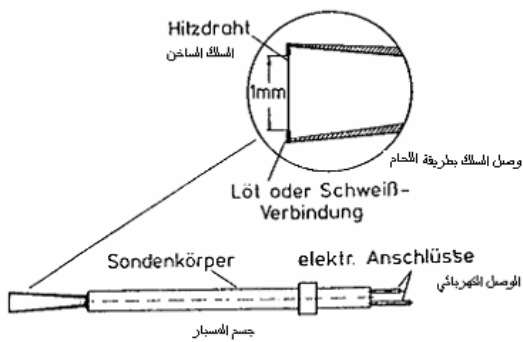
V

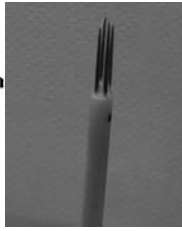
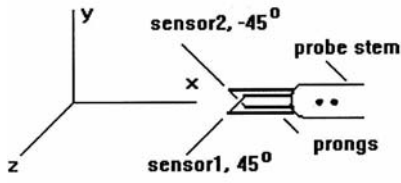
R_o

: [9]

$$I_e^2 \cdot R_H = (R_H - R_o) \left(A + B \sqrt{V} \right) \quad (9)$$

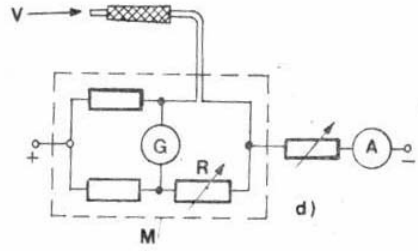
B A King's law





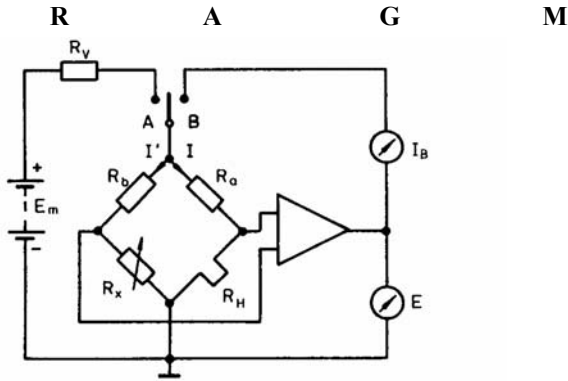
[14],[2]

:(8)



[9] (CCA)

:(9-a)



[2] (CTA)

:(9-b)

E_m R_H I R_x
 I_B E R_v A, B

:
 I =const , (CCA)
 .R =const , (CTA)

.(9) V R_H
 (9-b)

[2] ΔT u Q^{\bullet}
 (10)

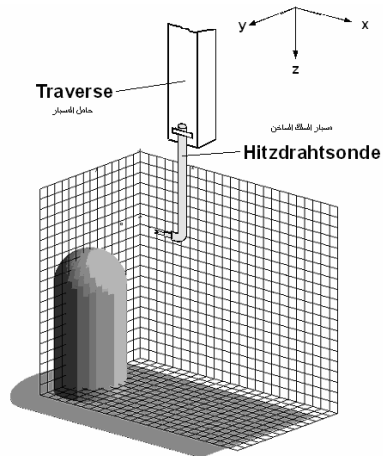
$$Q^{\bullet} = \left[A + B(\rho \cdot u)^{\frac{1}{n}} \right] \cdot \Delta T \quad (10)$$

A, B, n

55P61
 .(8) [14] (CTA) Dantec

L=1.25 [mm] D=0.5 μm

x,y,z
 (10)
 x
 " u,w
 V .x,z
 90° y



:(10)

3.3

.u,v,w

:

60mm

:

. x,y

u,v

$L_1=514.5$ mm

.250 mW

$L_2=488$ mm

60mm

.z

w

(11) .50 mW

$L_3=532$ mm

(12)

-

:

Laser Sender

2 1

Divider

.Measurement volume

Photodetector

Burst Signal Analyser

(BSA)

:(11) [3]

$$U_{\perp} = f_s \cdot \Delta x = \frac{1}{2 \cdot n} \cdot f_s \cdot \lambda_0 \cdot \frac{1}{\sin \varphi / 2} \quad (11)$$

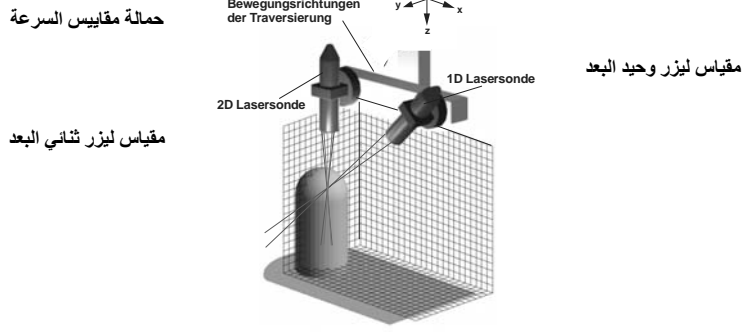
Δx n=1

n :

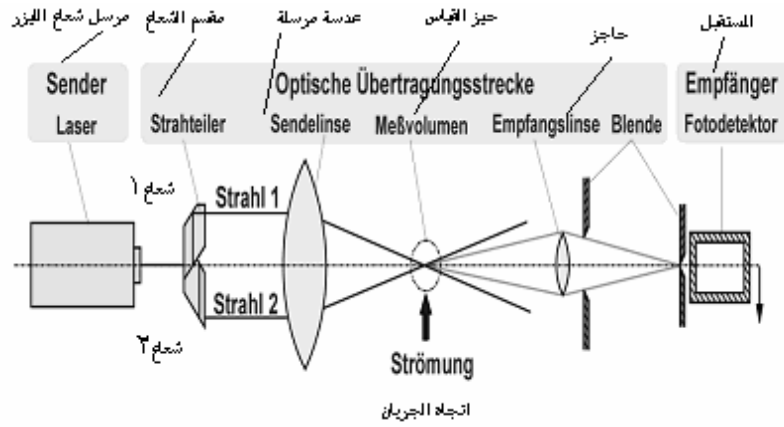
λ_0

f_s

φ



:(11)



:(12)

[6]

.4

$$Re = 2.10^5$$

$$.U_{\infty} = 27.5 \text{ m/s}$$

z \bar{w} 1.4

(14 13)

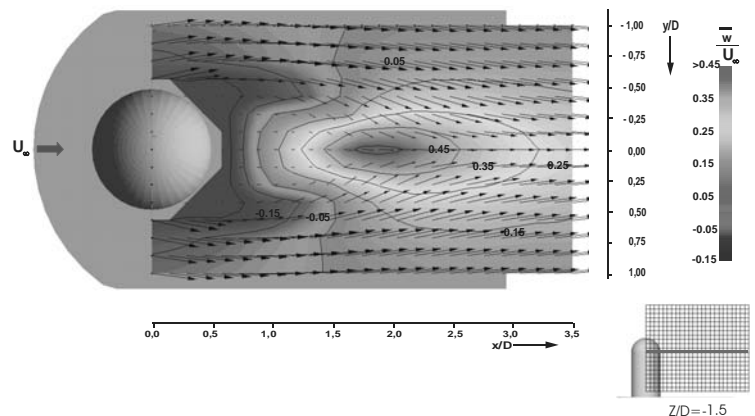
$$\bar{u}, \bar{v}, \bar{w}$$

$$\bar{u}_i = \frac{1}{N} \sum_{n=1}^N u_{in} \quad i=1 \dots 3 \quad (12)$$

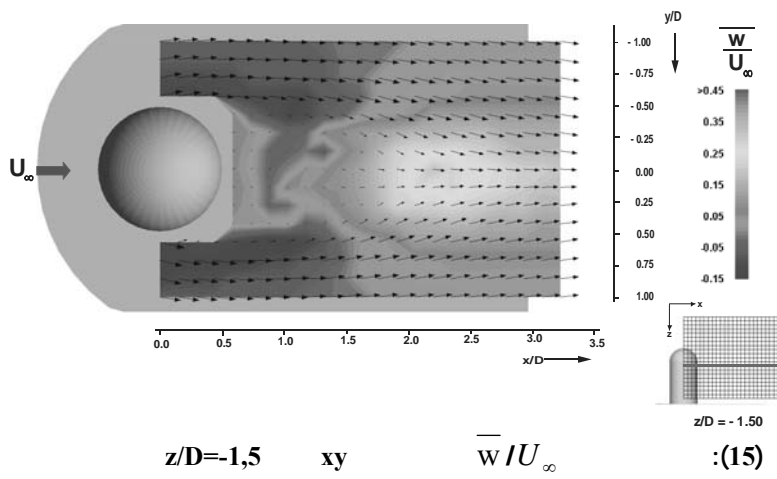
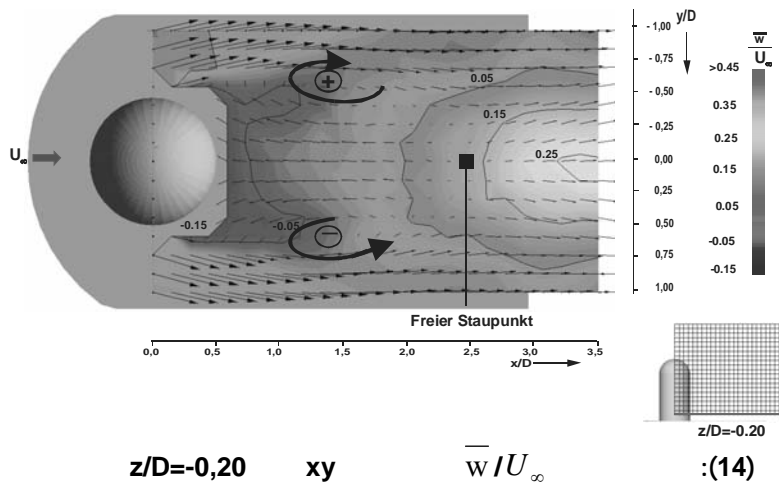
(2500) : N

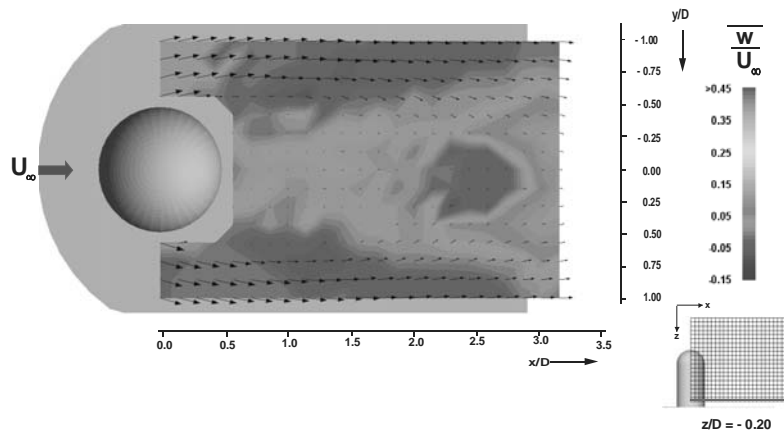
x, y, z : i

(16 15)



$z/D = -1,5$ xy \bar{w} / U_∞ :(13)





$$z/D = -0,20 \quad xy \quad \overline{w} / U_\infty \quad : (16)$$

$$\beta \quad \alpha \quad \alpha, \beta = \pm 30^\circ$$

(14, 13)

$\pm 30^\circ$

(19, 18)

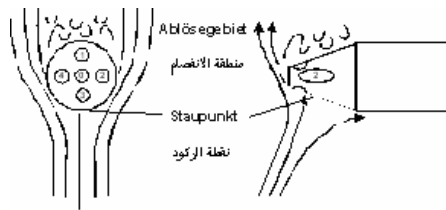
$$\bar{w}/U_\infty = 0.5 \quad xz \quad \bar{w}$$

$$z/D = -1.1 \quad x/D = 2.0$$

$$\bar{w}/U_\infty = 0.3$$

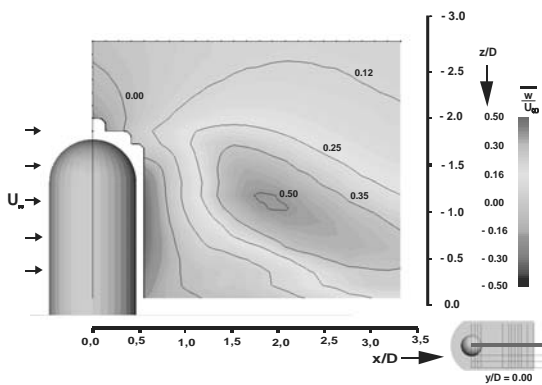
(19)

$$z/D = -1.3 \quad x/D = 2.2$$



$\pm 30^\circ$

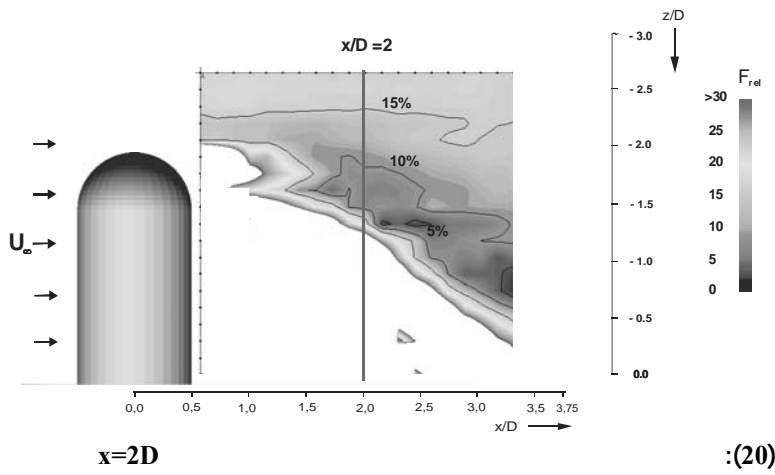
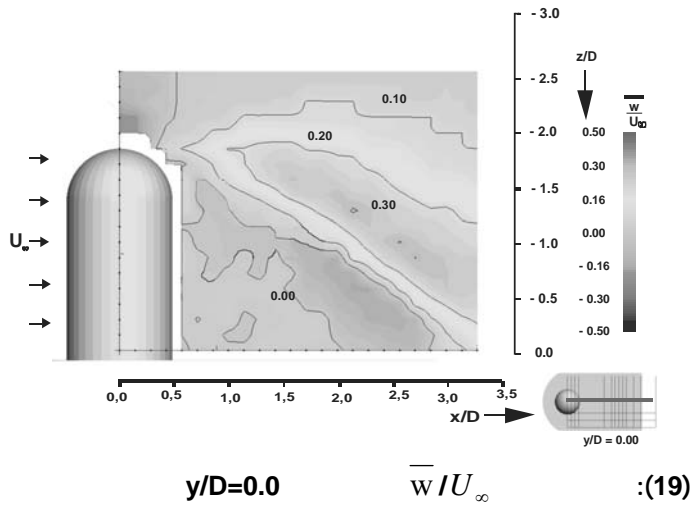
:(17)



$y/D=0.0$

\bar{w}/U_∞

:(18)



(20)

$x = 2D$

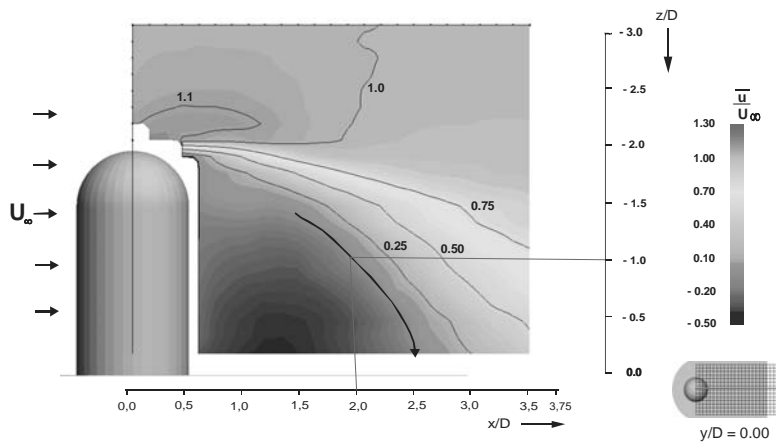
30%

5%

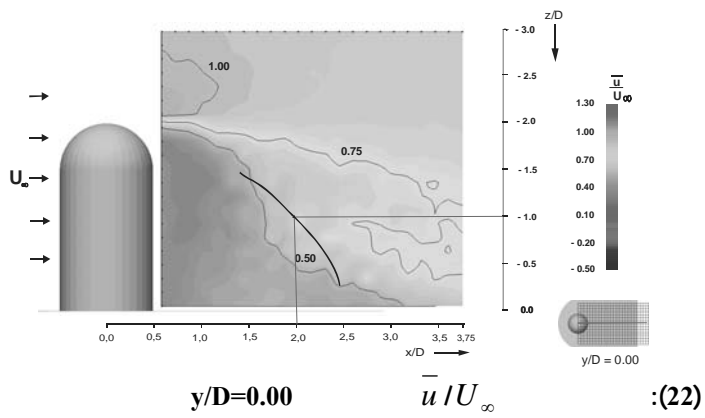
$$F_{rel} = \left| \overrightarrow{u_{5-Loch-Sonde}} - \overrightarrow{u_{LDA}} \right| / \left| \overrightarrow{u_{LDA}} \right| \times 100 \quad (13)$$

\bar{u} 2.4

$$\bar{u} \quad (21)$$



$y/D=0.00$ \bar{u}/U_{∞} : (21)



\bar{u}

)

.

(

%30

(23)

XZ

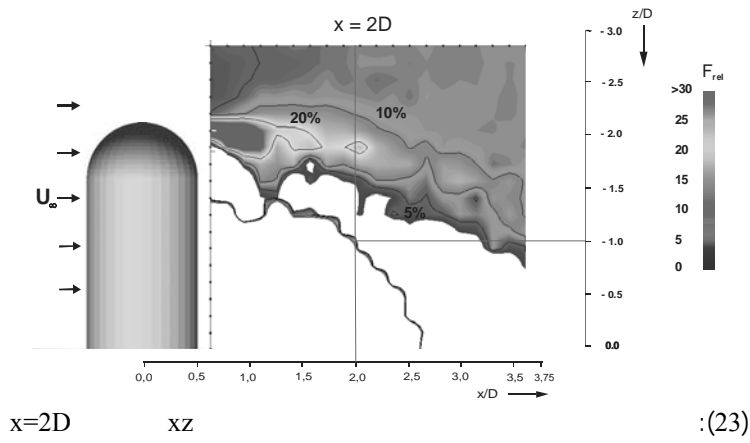
30% x=2D

.z/D ≥ -1.0 x ≤ 2.5

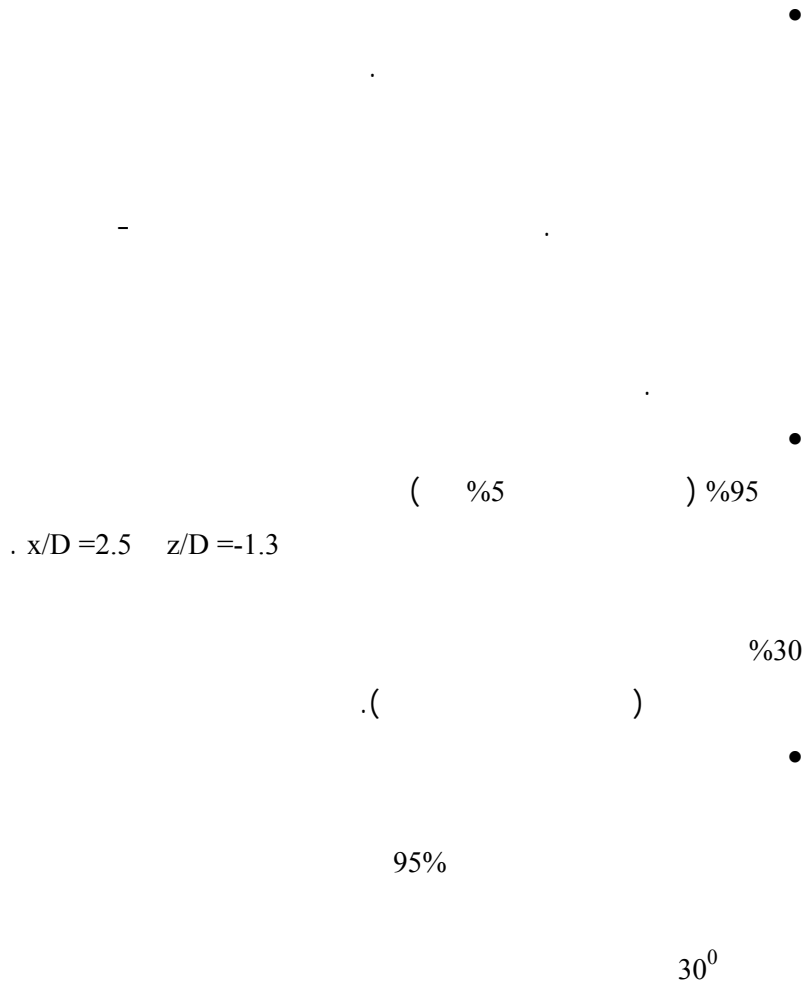
. 10% 5%

:

$$F_{rel} = \left| \vec{u}_{CTA} - \vec{u}_{LDA} \right| / \left| \vec{u}_{LDA} \right| \times 100 \quad (14)$$



.5



References

.6

- [1] Ruck, B.; Laser- Doppler- Anemometrie, Eine berührungslose optische Strömungs-geschwindigkeitsmesstechnik. AT- Fachverlag, Stuttgart, 1987
- [2] Eckelmann, H.; Einführung in die Strömungsmesstechnik. Teubner Verlag, Stuttgart, 1997
- [3] Leder, A.; Windkanalmessungen mit LDA- Systemen. In: Lasermethoden in der Strömungsmesstechnik, Hrsg : B. Ruck, AT- Fachverlag, Stuttgart, 1990
- [4] Nitsche, W.; Strömungsmesstechnik. Springer Verlag, Berlin Heidelberg, 1994
- [5] Leder, A.; Abgelöste Strömungen- Physikalische Grundlagen. Grundlagen und Fortschritte der Ingenieurwissenschaften, Vieweg Verlag, Braunschweig, 1992
- [6] Oschatz, L.; Laser- Doppler Messungen im dreidimensionalen Ablösegebiet eines endlich langen Kreiszylinders, Projektarbeit; Lehrstuhl für Strömungsmechanik, Universität Rostock, 2001
- [7] Richter, F. und Leder, A.: Reynoldszahleffekte bei der dreidimensionalen Umströmung eines Zylinderstumpfes unter dem Einfluss der Zentrifugal-beschleunigung, In: "Lasermethoden. in der Strömungsmesstechnik", 9. Fachtagung der GALA e. V., Shaker Verlag, Aachen, 2001
- [8] Laschka, B.; Vorlesungsmanuskript: Strömungsmechanik I, II, Technisch Universität München, 1992
- [9] Ackl, A. :
1986 ,
- [10] Hucho, W.A.: Aerodynamik des Automobils , VOGEL – Verlag, Duesseldorf 1994.
- [11] Goldstein R.J (Editor): Fluid Mechanics Measurements. Springer Verlag, Berlin, New York, 1983

Kashkoul, Y.: [12]

- [13] Strickert, H.: Hitzdraht- und Hitzfilmanemometrie , VEB Verlag Technik, Berlin, 1974
- [14] Hot-wire Anemometry ,Catalog "Dantec Dynamics A/S, 2002
- [15] Schlichting, H; Gersten, K.: Grenzschicht-Theorie, 9. Auflage Springer Verlag, Berlin / Heidelberg,1997
- [16] Kashkoul, Y.; Grebin, U.; Ackl, A.; Hassel, E.; Leder, A. : Dreidimensionale Strömungsstruktur im Ablösegebiet einer Zylinderstumpf-Halbkugelkonfiguration, in: Leder, A.; Brede, M.; Ruck, B.; Dopheide, D. (Hrsg.) Lasermethoden in der Strömungsmesstechnik,10.Fachtagung der GALA e.V. 2002, Universitätsdruckerei Rostock, S. 27.1-27.6
- [17] Leder, A.; Grebin, U.; Hassel, E.; Kashkoul, Y.; Ackl, A.: 3D-Flow structures behind a circular cylinder with hemispherical head geometry, Proc. Appl. Math. Mech. (PAMM),3,pp.40-43, 2003
- [18] Breitsamter,Ch.: Erweiterung und Verfeinerung eines Programmes zur Messung mit einer Fuenf-Loch-Sonde in Wirbeldominierten Stroemungsfelden, Bericht Tu Muenchen, 1990

.7

| | | | |
|---|-------------|--|-----------------------------|
| | α | | A |
| | β | | B |
| | Δp | | D |
| | Δx | | F _{rel} |
| | φ | | f_s |
| | λ_0 | | I _e |
| | ρ | | K_α |
| | BSA | | K_β |
| | CCA | | K_{ps} |
| | CTA | | K_{pt} |
| | FEM | | L |
| | FVM | | L_E |
| - | LDA | | M |
| | | | $P_{0 \rightarrow 4}$ |
| | | | P_0 |
| | | | P_t |
| | | | P_s |
| | | | R |
| | | | Re |
| | | | R _{II} |
| | | | R _o |
| | | | U_\perp |
| | | | U_∞ |
| | | | u,v,w |
| | | | $\bar{u}, \bar{v}, \bar{w}$ |
| | | | V |
| | | | x, y, z |

.2006/8/31